

## ПРИМЕНЕНИЕ ОДНОМЕРНОГО STS-РАСПРЕДЕЛЕНИЯ ДЛЯ МОДЕЛИРОВАНИЯ ЗНАЧЕНИЙ ФОНДОВЫХ ИНДЕКСОВ

О.А. Бельснер, О.Л. Крицкий

Томский политехнический университет

E-mail: olegkol@mph.phtd.tpu.edu.ru

*Рассмотрен модифицированный метод STS-GARCH(1,1). Модификация заключалась в отказе от предположения о нормальном законе распределения логарифмов дневных приращений временного ряда и в использовании для их описания Smoothly Truncated  $\alpha$ -Stable (STS)-распределения (гладко усеченного  $\alpha$ -устойчивого). Параметры метода найдены методом максимального правдоподобия. Проведено статистическое исследование надежности предложенного алгоритма и показано уменьшение автокорреляции в структуре данных, использованных для анализа. Метод применен для прогнозирования цен акций ПАО ЕЭС РТС с лагом 5.*

### 1. Введение

Изучение свойств, вычисление параметров и определение вида распределения некоторого стохастического процесса, лежащего в основе рыночных флуктуаций, является центральной задачей эконометрики. Знание распределения необходимо при конструировании эконометрических методов (ARCH, GARCH, EGARCH, FIGARCH, FIEGARCH и др., подробнее о методах см. [1]), при оценке предельной величины риска VAR, при расчетах вероятных в будущем значений временных рядов и при определении асимптотического поведения плотностей функций распределений. Последнее особенно важно, так как редкие события, определяющие форму и вид их хвостов, соответствуют получению наибольшей возможной прибыли или несению наибольшего вероятного убытка.

В преобладающем большинстве случаев логарифмы дневных приращений котировок финансовых инструментов (акций, облигаций, свопов, опционов и т. п.) не имеют нормального распределения [2–4]. Это связано с тем, что у эмпирической функции плотности распределения, построенной на основе таких логарифмов, существует ненулевой эксцесс и асимметрия, присутствует вытянутость функции плотности в  $\varepsilon$ -окрестности точки математического ожидания, а также наблюдаются так называемые «толстые хвосты», когда вероятность значительных изменений цен выше, чем для нормального распределения. Все эти факторы усложняют или делают невозможным применение известных эконометрических методов: ARCH( $p$ ), GARCH( $p, q$ ) и др., которые изначально были построены на допущении о нормальном распределении приращений и остатков.

Неудовлетворенность практических участников финансового рынка результатами, полученными на основе нормального приближения, заставила исследователей искать новые распределения и разрабатывать новые подходы для обработки эмпирических финансовых данных. Так, в работах [5–7] для описания временных рядов было использовано обобщенное распределение Парето, в [8, 9] – обобщенное  $t$ -распределение Стюдента, в [3] – распределение Лапласа, в [10] –  $\alpha$ -устойчивое распре-

деление. Однако в настоящее время все большее развитие получает идея комбинирования вышеперечисленных распределений с нормальным (см., например, [11]). Идея заключается в отсечении хвостов исходной функции плотности и в замене их на хвосты нормального распределения.

В данной работе рассматривается модифицированная модель GARCH(1,1). Модификация заключалась в отказе от предположения о нормальном законе распределения логарифмов дневных приращений временного ряда и в использовании для их описания Smoothly Truncated  $\alpha$ -Stable (STS)-распределения [11]. Построение STS-распределения осуществляется нахождением параметров нормальных распределений, формирующих хвосты, и вычислением первого и второго начальных моментов. Эффективность предложенной модификации STS-GARCH(1,1) показана с помощью имитационного моделирования цен акций ПАО ЕЭС РТС. При этом было использовано 371 значение долларовых котировок за период с 4 января 2003 г. по 30 июня 2004 г. (данные предоставлены компанией РТС, <http://www.rts.ru>).

### 2. Общие положения

Рассмотрим классический метод GARCH(1,1) [12]. Пусть  $h_n$ ,  $n=1,2,\dots$ , – некоторый временной ряд. Допустим, что справедлива авторегрессионная зависимость:

$$\bar{\sigma}_n^2 = \gamma V + \bar{\alpha} u_{n-1}^2 + \bar{\beta} \bar{\sigma}_{n-1}^2 = \omega + \bar{\alpha} u_{n-1}^2 + \bar{\beta} \bar{\sigma}_{n-1}^2, \quad (1)$$

где  $\gamma > 0$ ,  $\alpha > 0$ ,  $\beta > 0$  – некоторые коэффициенты модели,  $V > 0$  – долговременное среднее отклонение в структуре данных,  $\gamma + \bar{\alpha} + \bar{\beta} = 1$ ,  $\omega = \gamma V$ ,  $u_n = \ln(h_n) - \ln(h_{n-1})$  – логарифмы приращений значений временного ряда  $h_n$ ,  $\bar{\sigma}_n$  – дневная волатильность,  $n=1,2,\dots$ .

Вместо  $u_n = \ln(h_n) - \ln(h_{n-1})$  можно использовать, например, оценку  $u_n = \ln(h_n - h_{n-1}) h_{n-1}^{-1}$ . В обоих случаях  $u_n$  будут зависимыми случайными величинами. Поэтому для  $u_n$  потребуем существования по крайней мере двух первых условных начальных и центральных моментов. Для корректного вычисления последних предположим, что на вероятностном пространстве  $(\Omega, F, P)$ , где  $F$  –  $\sigma$ -алгебра под-

множеств  $\Omega$ , задана фильтрация  $F=(F_n)_{n \geq 0}$ , состоящая из  $\sigma$ -подалгебр  $F_n$  таких, что  $F_m \subset F_n \subset F$ , если  $m \leq n$ . При этом события из  $F_n$  будем интерпретировать как доступную на момент времени  $(n-1)$  информацию.

Пусть далее  $E(u_i|F_{i-1})=\bar{a}_i$  и  $D(u_i|F_{i-1})=\bar{\sigma}_i^2=E(u_i^2|F_{i-1})-\bar{a}_i^2$ ,  $i=1,2,\dots$ . Если предположить, что  $u_n \sim N(a_n, \sigma_n^2)$ , то в соответствии с методологией GARCH(1,1) выполнено соотношение:

$$u_n = \bar{\sigma}_n \varepsilon_n + \bar{a}_n, n = 0, 1, 2, \dots, \quad (2)$$

где  $\varepsilon_n \sim N(0,1)$  – стандартная нормальная случайная величина. Это позволяет производить имитационное моделирование будущих значений временного ряда  $h_n$  по вычисленным согласно (1) волатильностям  $\sigma_{n+1}$ :

$$\ln(h_{n+1}) = \ln(h_n) + \bar{\sigma}_{n+1} \varepsilon_{n+1} + \bar{a}_{n+1}, n = 0, 1, 2, \dots$$

Однако в произвольном случае, если закон распределения  $u_n$  неизвестен, использовать формулу (2) затруднительно. Построим для  $u_n$  функцию распределения, предположив, что она относится к классу STS-распределений с некоторыми параметрами.

**Определение.** Пусть

$$g_\theta(x) = \frac{1}{2\pi} \int_{-\infty}^{\infty} \exp[i x (\mu - t)] \times \\ \times \exp\left(-|c \cdot t|^\alpha \left(1 - \beta \cdot i \cdot \text{sign}(t) \cdot \text{tg}\left(\frac{\pi\alpha}{2}\right)\right)\right) dt$$

– функция плотности  $\alpha$ -устойчивого распределения с вектором параметров  $(\alpha, \beta, c, \mu)$ , где  $\alpha$  – характеристическая экспонента,  $\beta$  – коэффициент асимметрии,  $c$  – масштаб,  $\mu$  – среднее. Пусть  $h_1(x)$ ,  $h_2(x)$  – плотности нормального распределения с параметрами  $(a_i, \sigma_i^2)$ ,  $i=1,2$ . Пусть выбраны два действительных числа  $a, b$ , причем  $a < \mu < b$ , и выполнены соотношения:

$$h_1(a) = g_\theta(a), h_2(b) = g_\theta(b),$$

$$\int_{-\infty}^a h_1(x) dx = \int_{-\infty}^a g_\theta(x) dx, \int_b^\infty h_2(x) dx = \int_b^\infty g_\theta(x) dx. \quad (3)$$

Назовем плотностью STS-распределения функцию  $f(x)$  вида:

$$f(x) = \begin{cases} h_1(x), & x < a; \\ g_\theta(x), & x \in [a, b]; \\ h_2(x), & x > b. \end{cases} \quad (4)$$

Математические ожидания и дисперсии  $(a_i, \sigma_i^2)$ ,  $i=1,2$  однозначно определяются из равенств (3).

Поэтому  $S(x) = \int_{-\infty}^x f(t) dt = S(x, a, b, \alpha, \beta, c, \mu)$  будет зависеть от шести параметров:  $a, b, \alpha, \beta, c, \mu$ . Различные возможные параметризации рассмотрены в монографии [13], где обсуждаются их преимущества и недостатки.

Обозначим через  $p_1$  и  $p_2$  вероятности отсечения:

$$p_1 = \int_{-\infty}^a h_1(t) dt; p_2 = \int_b^\infty h_2(t) dt.$$

Для определения  $p_1$  и  $p_2$  необходимо пользоваться квадратурной формулой и вычислять соответ-

ственно интегралы  $\int_{-\infty}^a g_\theta(x) dx, \int_b^\infty g_\theta(x) dx$ .

Вероятности  $p_1$  и  $p_2$  играют важную роль при детерминации параметров нормальных распределений с плотностями  $h_1(x)$ ,  $h_2(x)$ . Справедлива следующая теорема.

**Теорема 1.** Пусть  $S(x, a, b, \alpha, \beta, c, \mu)$  – функция STS-распределения с плотностью  $f(x)$ , удовлетворяющей (4). Тогда параметры нормальных распределений с плотностями  $h_1(x)$ ,  $h_2(x)$  вычисляются по формулам:

$$\begin{aligned} \sigma_1 &= \varphi(\Phi^{-1}(p_1)) \cdot [g_\theta(a)]^{-1}, \\ \sigma_2 &= \varphi(\Phi^{-1}(p_2)) \cdot [g_\theta(b)]^{-1}, \\ a_1 &= a - \sigma_1 \Phi^{-1}(p_1), a_2 = b + \sigma_2 \Phi^{-1}(p_2), \end{aligned} \quad (5)$$

где  $\varphi(x)$ ,  $\Phi(x)$  – плотность и функция распределения стандартной нормальной случайной величины соответственно.

Доказательство теоремы основано на использовании равенств (3) и выполнении соотношений:

$$\begin{aligned} p_1 &= \int_{-\infty}^a h_1(t) dt = \Phi\left(\frac{a - a_1}{\sigma_1}\right); \\ p_2 &= \int_b^\infty h_2(t) dt = 1 - \Phi\left(\frac{b - a_2}{\sigma_2}\right). \end{aligned}$$

Для задания в (2) стандартной STS-распределенной случайной величины  $\varepsilon_n$  требуется знать первый и второй начальные моменты. Справедлива следующая теорема.

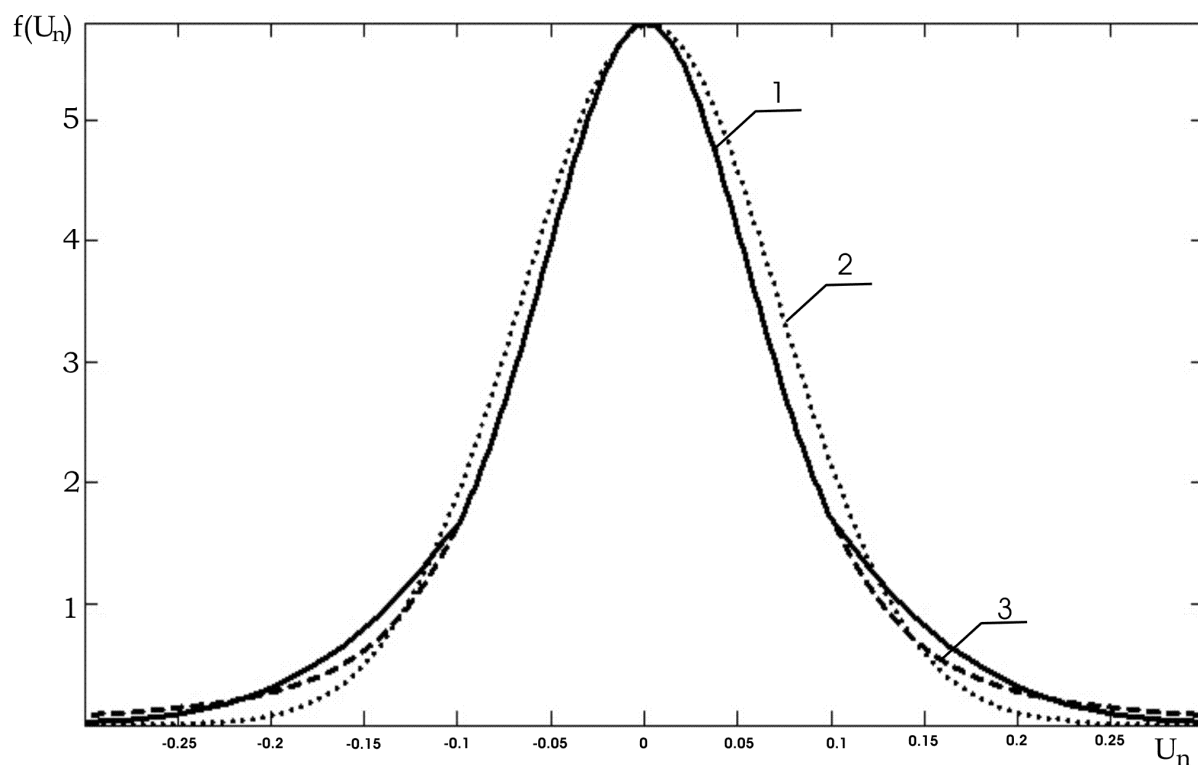
**Теорема 2.** Пусть  $\xi \sim S(x, a, b, \alpha, \beta, c, \mu)$ . Тогда первый и второй начальные моменты вычисляются по формулам:

$$\begin{aligned} E\xi &= ap_1 - \sigma_1[\Phi^{-1}(p_1)p_1 + \varphi(\Phi^{-1}(p_1))] + \\ &+ \int_a^b x g_\theta(x) dx + bp_2 + \sigma_2[\Phi^{-1}(p_2)p_2 + \varphi(\Phi^{-1}(p_2))], \\ E\xi^2 &= (\sigma_1^2 + a_1^2) - \sigma_1(a + a_1)\varphi(\Phi^{-1}(p_1)) + \\ &+ \int_a^b x^2 g_\theta(x) dx + (\sigma_2^2 + a_2^2)p_2 + \sigma_2(a_2 + b)\varphi(\Phi^{-1}(p_2)). \end{aligned}$$

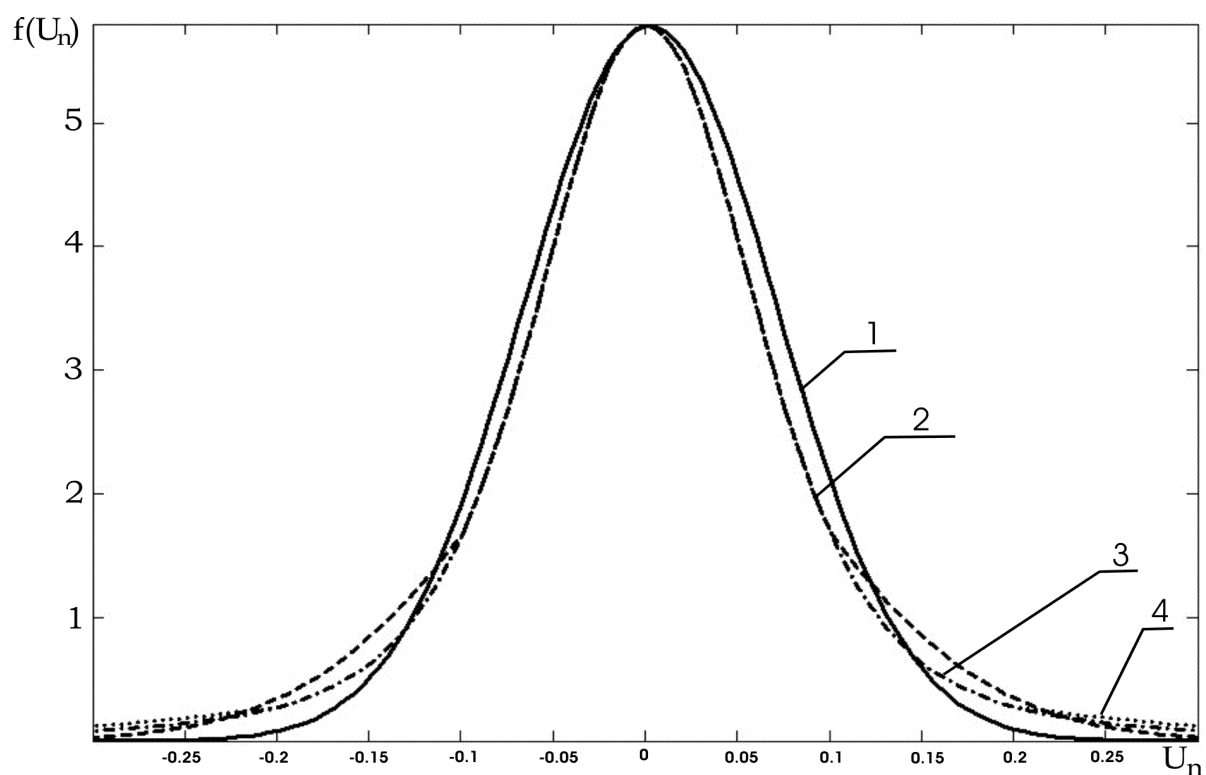
Доказательство теоремы основано на непосредственном интегрировании равенства (4).

Проведем сравнение построенной по (3)–(5) плотности STS-распределения с плотностями нормального и  $\alpha$ -устойчивого распределения с идентичными параметрами, для чего изобразим их на рис. 1.

Как следует из анализа рис. 1, плотности  $\alpha$ -устойчивого и STS-распределений совпадают друг с другом при  $x \in [a, b]$ . Кривая 2 отличается от



**Рис. 1.** Плотности нормального,  $\alpha$ -устойчивого и STS-распределения при  $a=-0,1$ ,  $b=0,1$  ( $p_1=p_2=0,105$ ),  $\alpha=1,5$ ,  $\beta=0,1135$ ,  $c=0,05$ ,  $\mu=0,00191$ : 1) плотность STS-распределения; 2) плотность нормального распределения с математическим ожиданием  $\mu=0,00191$  и дисперсией  $0,004761$ ; 3) плотность  $\alpha$ -устойчивого распределения



**Рис. 2.** Плотности STS-распределения при  $\alpha=1,5$ ,  $\beta=0,1135$ ,  $c=0,05$ ,  $\mu=0,00191$  и функция плотности нормального распределения с математическим ожиданием  $\mu$  и дисперсией  $0,00476$ : 1) плотность нормального вероятностного закона; 2) плотность STS-распределения при  $a=-0,1$ ,  $b=0,1$ ,  $p_1=p_2=0,105$ ; 3) плотность STS при  $a=-0,2$ ,  $b=0,2$ ,  $p_1=p_2=0,031$ ; 4) плотность STS-распределения при  $a=-0,3$ ,  $b=0,3$ ,  $p_1=p_2=0,015$

кривых 1, 3 вследствие ненулевого коэффициента асимметрии  $\beta$ . Кроме того, характеристическая экспонента  $\alpha$  не равна двум (случай нормального вероятностного закона). Далее, для  $x > \max\{|a|, |b|\}$  хвосты кривой 1 находятся между кривыми 2 и 3. Это говорит о том, что редкие события при их описании с помощью STS-распределения происходят с более высокой вероятностью, чем при использовании нормального закона.

Зависимость плотности STS-распределения от параметров  $a, b$  приведена на рис. 2. Как следует из анализа рис. 2, с ростом абсолютного значения уровня отсечения  $a$  толщина хвостов падает, а функция плотности концентрирует свои значения около моды  $\mu$ . Кроме того, при определенных значениях параметров плотность STS-распределения может иметь более толстые хвосты, чем плотности нормального и  $\alpha$ -устойчивого распределений. Поэтому можно утверждать, что построенная в соответствии с (3)–(5) функция  $f(x)$  обладает высокой адаптивной способностью к описанию эмпирических данных, достигаемой варьированием шести параметров.

### 3. Эконометрический анализ данных

Используем построенное выше STS-распределение для модификации GARCH(1,1). Предположим, что в выражении (1)  $u_n \sim S(x, a, b, \alpha, \beta, c, \mu)$ . Выберем стандартную STS-распределенную случайную величину  $\varepsilon_n \sim S(x; -5,92; 3,33; 1,85; 0,6; -0,1; 0)$ , имеющую нулевое математическое ожидание и единичную дисперсию.

Предполагая независимость логарифмических приращений, применим для оценивания коэффициентов  $\gamma, \bar{\alpha}, \bar{\beta}$  модели (1) метод максимального правдоподобия (вопросы применимости метода в случае условных плотностей подробно рассмотрены в [14]) и вычислим максимум функции  $L$ :

$$L = \prod_{i=1}^m f_i,$$

или функции  $\ln L$ :

$$\ln L = \sum_{i=1}^m f_i, \quad (6)$$

где  $f_i = f(x_i | F_{i-1})$  – функции условной плотности STS-распределения, определенные равенством (4),  $m$  – число наблюдений,  $L$  – функция правдоподобия.

Поиск максимума (6) осуществляется в соответствии с выполнением необходимого условия существования экстремума функции трех переменных:

$$\frac{\partial L}{\partial \omega} = 0, \quad \frac{\partial L}{\partial \bar{\alpha}} = 0, \quad \frac{\partial L}{\partial \bar{\beta}} = 0. \quad (7)$$

Решение нелинейной системы (7) в предположении единственности экстремума в некоторой расчетной области может проводиться любым итерационным методом: методом наискорейшего спуска, сопряженных градиентов и т. п.

После оценивания коэффициентов  $\omega, \bar{\alpha}, \bar{\beta}$  и подстановки их в (1) остается провести статистическое исследование надежности предложенного метода GARCH(1,1) при прогнозировании волатильности. Для этого используем хорошо известную статистику Льюнга–Бокса проверки гипотезы  $H_0$  о равенстве нулю первых  $m$  автокорреляций [15], где  $m < n$ . Так как при условии существования четвертого начального момента  $E|u_n| < \infty$  процесс GARCH(1,1) может быть записан в виде ARMA процесса с параметрами  $p=1$  и  $q=1$ , то естественно рассмотреть нормированную выборочную автокорреляционную функцию остатков  $\hat{a}_n$  вида

$$\hat{r}_k = \sum_{i=1}^{n-k} \hat{a}_i \hat{a}_{i+k} / \sum_{i=1}^n \hat{a}_i^2, \quad k = 1, 2, 3, \dots$$

Далее, запишем статистику

$$\bar{\gamma} = n(n+2) \sum_{k=1}^m \frac{\hat{r}_k^2}{n-k},$$

которая, как известно, при достаточно больших  $n$  будет иметь  $\chi^2$ -распределение с  $(m-p-q)$  степенями свободы, если теоретические значения параметров модели (1) неизвестны. Наконец, вычисление  $\hat{r}_k$  следует проводить для остатков  $\hat{a}_n = u_n^2$  и  $\bar{a}_n = (u_n - \bar{a}) / \bar{\sigma}_n^2$  соответственно до и после применения GARCH(1,1).

Гипотеза  $H_0$  принимается, если  $\bar{\gamma} < \chi_{1-s}^2(m-p-q)$ , где  $s$  – уровень значимости критерия, и отвергается в противном случае. Соответственно, GARCH(1,1), определяемый выражением (1) с коэффициентами, удовлетворяющими (7), является статистически надежным с уровнем значимости  $s$ , если  $\bar{\gamma} < \chi_{1-s}^2(m-p-q)$ .

Для моделирования вероятных в будущем значений временного ряда  $h_n$  вместе с вычислением статистики Льюнга–Бокса потребуются проверить, будут ли приращения  $u_n$ , найденные в соответствии с (2), иметь STS-распределение. Подгонка эмпирического распределения к STS по выборочным данным может осуществляться различными методами, например, подгонкой характеристической функции или аппроксимацией плотности с использованием быстрого преобразования Фурье. В данной работе использовалась запись плотности STS-распределения через интеграл Золотарева [13] с его последующим численным интегрированием квадратурной формулой Симпсона. Качество подгонки проверялось с помощью  $\chi^2$ -теста [14].

### 4. Анализ эмпирических данных

Применим метод STS-GARCH(1,1) для моделирования временного ряда  $h_n$  долларовых котировок акций РАО ЕЭС РТС, для чего используем 371 значение за период с 04 января 2003 г. по 30 июня 2004 г.

Отметим, что  $u_n = \ln(h_n) - \ln(h_{n-1})$ ,  $n=1, 2, \dots$ , обладают следующими параметрами: среднее –  $1,9 \cdot 10^{-3}$ , дисперсия –  $8,2 \cdot 10^{-4}$ , третий центральный момент –  $2,6 \cdot 10^{-6}$ , четвертый –  $4,1 \cdot 10^{-6}$ , коэффициент асимметрии –  $1,1 \cdot 10^{-1}$ , кurtosis (эксцесс) – 6,15.

Проведенные численные расчеты показали, что  $u_n \sim S(x, a, b, \alpha, \beta, c, \mu)$  с вероятностью 0,99, причем  $a = -4 \cdot 10^{-2}$ ,  $b = 4,5 \cdot 10^{-2}$ ,  $\alpha = 1,9$ ;  $\beta = 1,1 \cdot 10^{-1}$ ,  $c = 1,8 \cdot 10^{-2}$ ,  $\mu = 1,9 \cdot 10^{-3}$ . При этом значение  $\chi^2$ -теста было равно 21,67.

Дневная волатильность  $\sigma_n$  в (1) вычислялась по последним  $k$  наблюдениям:

$$\bar{\sigma}_n^2 = \frac{1}{k-1} \sum_{i=1}^k (u_{n-i} - \bar{u})^2,$$

где  $\bar{u} = \frac{1}{k} \sum_{i=1}^k u_{n-i}$  – выборочное среднее,  $k$  – лаг (задержка) временного ряда. Коэффициенты модели (1) были оценены методом максимального правдоподобия с логарифмической функцией правдоподобия (6). Система (7) разрешалась методом наискорейшего спуска с погрешностью  $\varepsilon = 10^{-3}$ . Начальное приближение выбиралось нулевым.

Величины параметров STS-GARCH(1,1) при различных лагах  $k$  приведены в таблице.

**Таблица.** Значения коэффициентов STS-GARCH (1,1) при различных лагах

$k$	$\omega$	$\bar{\alpha}$	$\bar{\beta}$	$\gamma$	$V$
2	$10^{-4}$	0,20	0,77	0,03	$3 \cdot 10^{-2}$
5	$10^{-4}$	0,21	0,78	$10^{-2}$	$10^{-2}$
10	$10^{-3}$	0,16	0,83	$10^{-2}$	$10^{-1}$

Приведем значения статистики Льюнга–Бокса  $\bar{\gamma}$  до и после применения GARCH(1,1). Так, при  $k=3$  до и после применения она была равна 29,58 и 0,09 соответственно, при  $k=5$  – 48,6 и 1,11, при  $k=10$  – 60,13 и 6,78. Пороговые значения распределения  $\chi^2_{1-\alpha}(m-2)$  при уровне значимости  $\alpha=0,05$  и  $m=3$ ,  $m=5$ ,  $m=10$  равны 3,8414; 7,8147; 15,5073. Таким образом, метод STS-GARCH(1,1), построенный на основе (1) с коэффициентами из таблицы, является статистически надежным с вероятностью 0,95.

Применим STS-GARCH(1,1) для имитационного моделирования долларовых котировок акций РАО ЕЭС РТС. При этом используем найденные ранее волатильности  $\sigma_n$  и сгенерируем случайную последовательность  $\varepsilon_n = \{y_n\}_{n=0}^{370}$ , имеющую STS-распределение с нулевым средним и дисперсией единица:

$$\varepsilon_n \sim S(x; -5,92; 3,33; 1,85; 0,6; -0,1; 0).$$

Задание значений  $\varepsilon_n$  проводилось согласно классической схеме [17]: на интервале  $[0,1]$  генерировалась последовательность равномерно распределенных случайных величин  $\{x_n\}_{n=0}^{370}$ , после чего при фиксированном  $n$  решалось трансцендентное уравнение относительно  $y_n$ :

$$x_n = S(y_n), \quad (8)$$

где  $S(y) = S(y; -5,92; 3,33; 1,85; 0,6; -0,1; 0) = \int_{-\infty}^y f(t) dt$

– функция стандартного STS-распределения. Решение уравнения (8) осуществлялось методом касательных с нулевым начальным приближением и точностью  $10^{-4}$ . Относительная погрешность вычисления корней (8) не превосходила  $10^{-6}$ .

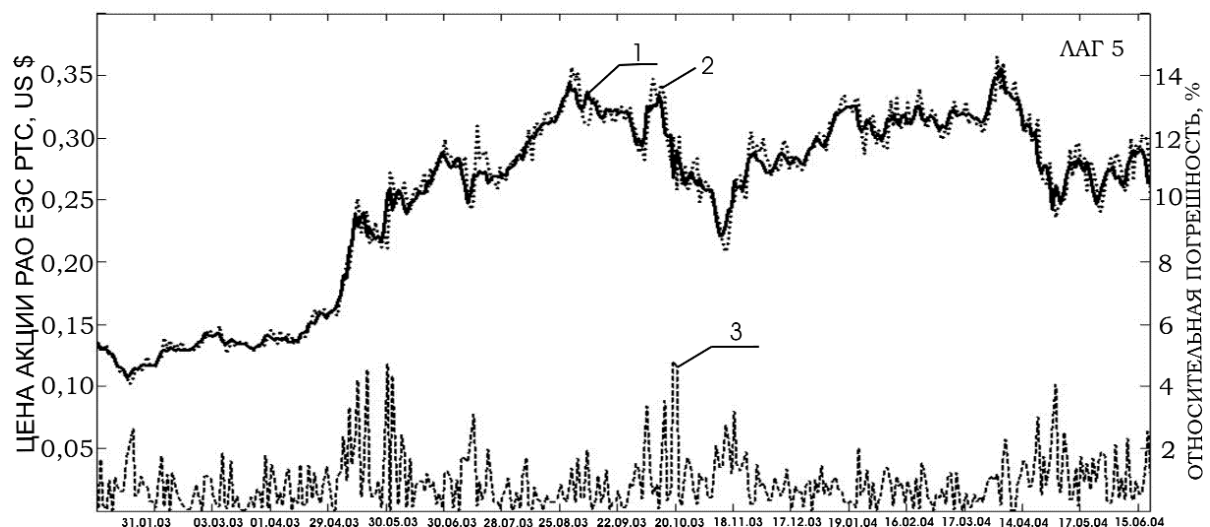
Последовательность  $\varepsilon_n$  была использована в (2) для определения логарифмов приращений  $u_n$  и для вычисления вероятных значений  $h_{n+1}^{STS}$  долларовых котировок акций РАО ЕЭС РТС:

$$h_{n+1}^{STS} = h_n \cdot \exp(\bar{\sigma}_{n+1} \varepsilon_{n+1} + \bar{\alpha}_{n+1}).$$

Полученные  $h_n^{STS}$ , рассчитанные с лагом 5, и исходные исторические данные  $h_n$  приведены на рис. 3. Кроме того, на рис. 3 изображена относительная погрешность  $\delta_n$  между ними:

$$\delta_n = |h_n^{STS} - h_n| h_n^{-1}.$$

Как следует из анализа рис. 3, относительная погрешность  $\delta_n$  не превосходила 5 %. Максимум  $\delta_n$  достигался на 206 день торгов и был равен 4,8 %. Средняя величина погрешности составила 2,28 %.



**Рис. 3.** Сравнение исторических и модельных значений котировок акций РАО ЕЭС РТС за период с 04 января 2003 г. по 30 июня 2004 г.: 1) временной ряд исторических данных, 2) временной ряд, рассчитанный STS-GARCH(1,1) с лагом 5, 3) относительная погрешность, %

Согласно рис. 3, наблюдаются три всплеска значений  $\delta_n$ : с 29.04.03 по 30.05.03, 20.10.03 и с 14.04.04 по 17.05.04. Это связано с резкими скачками котировок акций в данные промежутки времени, так как волатильность цен составляла от 7 до 15 % в день. Отметим, что такие резкие изменения цен являются одной из причин отказа от допущения о нормальном распределении  $\varepsilon_n$  при вычислении  $u_n$  в выражении (2). Как показывают расчеты, если вместо  $\varepsilon_n \sim S(x; -5,92; 3,33; 1,85; 0,6; -0,1; 0)$  взять  $\varepsilon_n \sim N(0,1)$ , то максимум относительной погрешности будет равен 17,1 % при средней величине погрешности 7,3 %. Вышесказанное дает основание сделать вывод о том, что STS-GARCH(1,1) удовлетворительно описывает исходные данные и позволяет моделировать их значения с небольшой погрешностью.

#### СПИСОК ЛИТЕРАТУРЫ

1. Ser-Huang P. A Practical Guide to Forecasting Financial Market Volatility. – Chichester: John Wiley & Sons, 2005. – 123 p.
2. Fama E. The behavior of stock market prices // *Journal of Business*. – 1965. – V. 38. – № 1. – P. 34–105.
3. Haas M., Mittnik S., Paoletta M.S. Modeling and Predicting Market Risk With Laplace-Gaussian Mixture Distributions // *Center for Financial Studies (J.W. Goethe University)*, 2005. – № 11. – P. 36.
4. Mantegna R.N., Stanley H.E. Introduction to Econophysics, Correlations and Complexity in Finance. – Cambridge: Cambridge University Press, 2000. – 148 p.
5. Basrak B., Davis R.A., Mikosch T. Regular variation of GARCH processes // *Stochastic Processes and their Applications*. – 2002. – V. 99. – P. 95–115.
6. Brooks C., Clare A.D. a. o. A comparison of extreme value theory approaches for determining value at risk // *Journal of Empirical Finance*. – 2005. – № 12. – P. 339–352.
7. Mittnik S., Paoletta M.S., Rachev S.T. Stationarity of stable power-GARCH processes // *Journal of Econometrics*. – 2002. – V. 106. – P. 97–107.
8. Jondeau E., Rockinger M. Conditional volatility, skewness, and kurtosis: existence, persistence, and comovements // *Journal of Economic Dynamics and Control*. – 2003. – V. 27. – P. 1699–1737.
9. Wagner N., Marsh T.A. Measuring tail thickness under GARCH and an application to extreme exchange rate changes // *Journal of Empirical Finance*. – 2005. – V. 12. – P. 165–185.

#### 5. Заключение

На основе одномерного STS-распределения построен модифицированный эконометрический метод STS-GARCH(1,1). Найдены аналитические выражения для первого и второго начальных моментов STS-распределения. Неизвестные параметры модели STS-GARCH(1,1) определены численно методом максимального правдоподобия. С помощью теста Льюнга–Бокса осуществлено статистическое исследование надежности предложенного эконометрического алгоритма. Далее, метод STS-GARCH(1,1) был применен для имитационного моделирования цен обыкновенных акций ПАО ЕЭС РТС с лагом 5. Показана более высокая точность вычислений по сравнению с классической моделью GARCH(1,1), в которой делается допущение о нормальности логарифмов дневных приращений.

10. Menn C., Rachev S.T. A GARCH option pricing model with alpha-stable innovations // *European Journal of Operational Research*. – 2005. – V. 163. – P. 201–209.
11. Rachev S.T., Menn C., Fabozzi F.J. Fat-tailed and Skewed Asset Return Distribution. Implications for Risk Management, Portfolio Selection and Option Pricing – John Wiley & Sons, 2005. – 370 p.
12. Hull J. Options, futures and other derivatives – Prentice-Hall, 2002. – 745 p.
13. Золотарев В.М. Одномерные устойчивые распределения. – М.: Наука, 1983 – 304 с.
14. Айвазян С.А., Мхитарян В.С. Прикладная статистика. Основы эконометрики. – М.: ЮНИТИ-ДАНА, 2001 – Т. 1. – 656 с.
15. Ljung G.M., Box G.E.P. On a measure of lack of fit in time series models // *Biometrika*. – 1978. – V. 65. – № 2. – P. 297–303.
16. Chernobai A., Rachev S.T., Fabozzi F. Composite Goodness-of-Fit Tests for Left-Truncated Loss // *Samples Technical Report: Department of Statistics and Applied Probability, University of California, USA*, 2005. – 23 p. <http://www.pstat.ucsb.edu/research/papers/KSmissing20050604-JFE.pdf>
17. Демидович Б.П., Марон И.А. Основы вычислительной математики. – М.: Изд-во физ.-мат. литературы, 1960. – 661 с.